

شماره ۱۲۷، تابستان ۱۳۹۹

صص: ۱۳~۳۰

برآوردهم خونی ژنومی و ارزیابی هموزیگوستی ایجاد شده

در جمعیت گاوها سرابی و نجدی

احد خصالی اقطاعی

دانش آموخته دکتری ژنتیک و اصلاح نژاد دام، طیور، گروه علوم دامی، دانشکده کشاورزی، دانشگاه زابل، زابل

مهدی وفای واله (نویسنده مسئول)

دانشیار، گروه علوم دامی، دانشکده کشاورزی، دانشگاه زابل، زابل

حسین مرادی شهر باک

استادیار، گروه علوم دامی، پردیس کشاورزی و منابع طبیعی، دانشگاه تهران

غلامرضا داشاب

دانشیار، گروه علوم دامی، دانشکده کشاورزی، دانشگاه زابل، زابل

تاریخ دریافت: آذر ۱۳۹۷ تاریخ پذیرش: خرداد ۱۳۹۸

شماره تماس نویسنده مسئول: ۰۹۳۵۸۲۳۷۵۵۰

Email: mehdi.valleh@uoz.ac.ir

شناسه دیجیتال (DOI): 10.22092/asj.2019.124197.1819

چکیده

مطالعه حاضر به منظور برآورد سطح هم خونی ژنومی با استفاده از تجزیه F_{ROH} ROH در دو نوده گاو بومی ایران شامل سرابی و نجدی و همچنین مقایسه برآوردهای F_{ROH} با دیگر برآوردهای ضریب هم خونی بر اساس ماتریس رابطه ژنوم (F_{GRM})، درصد SNPs هموزیگوت (F_{HOM}) و اطلاعات شجره نامه (F_{Ped}) انجام شد. برای انجام این کار، به ترتیب تعداد ۲۱۳ و ۲۱۱ نمونه به طور تصادفی از جمعیت سرابی و نجدی انتخاب شدند. نمونه‌ها با استفاده از ریز تراشه ۴K v2 Illumina BeadChip مطابعه شدند. علاوه بر این، تعداد ۳۰ نمونه از گاوها شیری هلشتاین ایران از مرکز اصلاح نژاد ایران، مورد بررسی تغیین ژنوتیپ شدند. آنالیز ژنومی با استفاده از برنامه‌های SNeP، Plink، Excel، CFC در مجموع ۲۰۳۰ بلوک هاپلوتیپی قرار گرفتند. آنالیز ژنومی با استفاده از برنامه‌های ROHs، ROHs درین جمعیت نجدی و سرابی مشاهده شد. علاوه در جمعیت شناسایی شدند. بیشترین و کمترین تعداد قطعات ROH درین جمعیت نجدی و سرابی مشاهده شد. علاوه بر این، طول ROH درین نژادهای مختلف متفاوت بود ($P < 0.05$). جمعیت نجدی بیشترین تعداد ROH را در دسته‌های با طول متفاوت ROH (۸-۱۶ Mb) داشتند. حداقل ضریب همبستگی بین ضرایب هم خونی برآورده شده بین $F_{ROH > 4Mb}$ و $F_{Ped > 0.0592}$ در جمعیت سرابی بدست آمد ($P < 0.001$). نتایج این مطالعه وجود هم خونی، حداقل در پنج نسل اخیر جمعیت بومی مورد مطالعه را نشان می‌دهد و برنامه‌های حفاظتی باید به منظور مدیریت سطوح هم خونی در هر دو جمعیت صورت گیرد.

Animal Science Journal (Pajouhesh & Sazandegi) No 127 pp: 13-30

Genomic inbreeding estimation and evaluation of runs of homozygosity in Sarabi and Najdi cattle populations.

By: A Khasaliaghtaei¹, M vafeye Valleh², H Moradi Shahrbabak³ and Gh Dashab²

¹Ph.D of Animal Breeding and Genetic, Department of Animal Science, Faculty of Agriculture, University of Zabol, Zabol.

²Associate Professor of Animal Breeding and Genetic, Department of Animal Science, Faculty of Agriculture, University of Zabol, Zabol.

³ Assistant Professor, Department of Animal Sciences, Faculty of Agriculture and Natural Resources, University of Tehran, Karaj.

Received: December 2018

Accepted: June 2019

The present study was carried out to estimate levels of genomic inbreeding based on ROH (FROH) analysis in the two Iranian native cattle populations including Sarabi and Najdi, as well as comparing the FROH estimates with other inbreeding estimates obtained based on the genomic relationship matrix (FGRM), percentage of homozygous SNPs (FHOM) and pedigree information (FPed). To do this, 213 and 211 samples were randomly selected from Sarabi and Najdi populations, respectively. The samples were genotyped using the Illumina BeadChip40K v2 microchip. In addition, 30 samples of Holstein dairy cattle of Iran provided by Animal Breeding Center of Iran, were included in the analysis. Genomic analysis was performed using CFC, Excel, Plink, SNeP programs. A total of 2030 haplo-blocks were identified in the populations. The highest and lowest number of ROH segments (ROHs) was observed within Najdi and Sarabi Population, respectively. Furthermore, ROH length were found to be significantly different among breeds ($P<0.05$). Najdi population had the highest number of ROH across different categories of ROH length (4-8Mb, 8-16Mb and >16Mb). Maximum correlation coefficient among the estimated inbreeding coefficients was obtained between FPed and FROH>4Mb (0.592) in the Sarabi population ($P<0.001$). The results of this study indicate that presence of inbreeding at least in the five early generations of the studied native populations and the conservation programs must be taken to manage the inbreeding levels in both populations.

Key words: Genomic inbreeding, Local cattle breeds, Runs of homozygosity.

مقدمه

اما اندازه جمعیت آنها کم است. گاو سرابی دارای رنگ‌های متنوعی از زرد روشن تا قهوه‌ای سوخته بوده و در بین آنها گاوهایی به رنگ زرد با لکه‌های سفید نیز دیده می‌شود. اکثر گاوهای سرابی، از دید پهلو، دارای بدنه ذوزنقه‌ای شکل بوده و به خوبی با شرایط سخت مناطق کوهستانی شمال‌غربی سازگار شده و اهمیت اقتصادی آنها مربوط به سیستم‌های تولید ستی پنیر و کره محلی می‌باشد (توکلیان، ۱۳۷۸).

گاو نجدی دارای جثه‌ای بزرگ‌تر از دیگر گاوهای بومی، برجستگی در ناحیه جدوگاه (کوهان)، سر کوچک همراه با ظرافت چهره، پیشانی صاف، شاخ‌های کوتاه و دست و پای

منابع ژنتیکی حیوانی به واسطه مشارکت در معیشت انسان، در حال حاضر و در آینده بایستی حفظ شوند (Toro و همکاران، ۲۰۱۱). بیشتر توده‌های بومی، حاصل سازگاری دام‌ها با سیستم‌های تولیدی محیط زیست خود بوده و در بسیاری از موارد در صورت انقراض آنها هیچ نژاد دیگری نمی‌تواند در این زیستگاه زنده بماند. چنین جمیعت‌های بومی با تنوع ژنتیکی خاص خود ممکن است برای باز گرداندن تنوع ژنتیکی از بین رفته در نژادهای مورد استفاده به دلیل انتخاب شدید بر روی صفات تولیدی، منابع با ارزشی باشند (Fernandes و همکاران، ۲۰۱۱).

گاوهای سرابی^۱ و نجدی^۲ دو توده بومی دارای اهمیت اقتصادی،

¹ Sarabi

² Najdi

دو روش محاسبه هم خونی ژنومی براساس SNP های ژنوم وجود دارد. اولین روش براساس برآوردهای تک تک نشانگرها مانند عناصر قطری ماتریس رابطه ژنومی (GRM^۹) (VanRaden) و همکاران، ۲۰۱۱، برآوردهای کانون های Purcell و هموزیگوستی SNP توسط نرم افزار PLINK (Caballero) و همکاران، ۲۰۰۷ و برآوردهای توزیع مولکولی استوار است (Toro).

دومین روش، براساس تشخیص هموزیگوستی ایجاد شده (ROH^{۱۰}) است. ROH طول پیوسته ای از ژنتیپ های هموزیگوت موجود در یک فرد به دلیل انتقال ها پلوتیپ های مشابه از والدین فرد می باشد (Gibson و همکاران، ۲۰۰۶).

امروزه، ضریب هم خونی محاسبه شده از (F_{ROH} ^{۱۱}) به عنوان قوی ترین برآوردهای ضریب هم خونی بین چندین برآوردهای هم خونی می باشد (Keller و همکاران، ۲۰۱۱).

از آنجایی که فرآیند نوترکیبی باعث تداخل در طول قطعات بلند کروموزوم می گردد، ROH با طول بلند ($\sim 10\text{ Mb}$) مربوط به هم خونی در سال های اخیر (تا ۵ نسل قبل) و ROH کوتاه ($\sim 1\text{ Mb}$) تعیین کننده اثر هم تباری دور (تا ۵۰ نسل پیش) مانند اثرات بینانگذار^{۱۲} نژادی می باشد (Howrigan و همکاران، ۲۰۱۱). بنابراین، تخمین مقدار F با استفاده از طول و فراوانی نواحی ROH تحت عنوان تعداد نسل های هم خون و تاریخ انتخاب در سال های اخیر، بیان می شود (Purfield و همکاران، ۲۰۱۲).

اگر چه ROH حاصل از تجزیه و تحلیل کل ژنوم به طور گسترده در انسان مورد مطالعه قرار گرفته است، اما این تخمین ها در رابطه با گاو به خصوص در توده های بومی و در سایر گونه های دام نادر است (Purfield و همکاران، ۲۰۱۲؛ Ferenčaković و همکاران، ۲۰۱۳؛ Pertoldi و همکاران، ۲۰۱۳؛ Silió و همکاران، ۲۰۱۳؛ Pertoldi و همکاران، ۲۰۱۴).

بنابراین، هدف از مطالعه حاضر تخمین هم خونی و میزان شباهت بین افراد در دو توده نجدی و سرایی با استفاده از اطلاعات شجره-

کشیده و پوستی ظریف و نازک و پوشیده از موهای نرم و براق به رنگ قرمز حنایی روشن تا تیره است. گاو نجدی در طول سالیان متمادی خود را با شرایط آب و هوایی گرم و خشک و منابع غذایی محدود نواحی جنوب غربی ایران که بیشتر از گیاهان مرتعی ناحیه جلگه تشکیل شده است، تطبیق داده و برای تولید گوشت و شیر نگهداری می شود (توکلیان، ۱۳۷۸).

هم خونی به معنی آمیزش افرادی است که قرابت آنها با یکدیگر بیشتر از متوسط خویشاوندی در جامعه مورد بررسی باشد (Lush، ۱۹۴۵) میزان هم خونی در جمعیت های حیوانی تحت تأثیر رانش ژنتیکی، گلوگاه جمعیتی، آمیزش بین خویشاوندان نزدیک و انتخاب طبیعی و مصنوعی قرار دارد (Curik و همکاران، ۲۰۱۱؛ Keller و همکاران، ۲۰۱۴). افزایش هم خونی معمولاً با آثار منفی مانند کاهش واریانس ژنتیکی، افزایش فراوانی ژنتیپ هموزیگوت آلل های زیان آور، کاهش در عملکرد صفات تولیدی و تولید مثلی (افت هم خونی) و کاهش زنده مانی جمعیت^۵ می شود (Ouborg و همکاران، ۲۰۱۰).

ضریب هم خونی فردی^۶ (F) به عنوان نسبتی از ژنوم فرد که اتوزیگوس بوده، یا احتمال این که یک نمونه تصادفی ژنگاه در Ferenčaković (۲۰۱۳)، برای اجتناب از افت به واسطه هم خونی، یک برآورده دقیق و حساس از هم خونی (F) به خصوص در توده ها و جمعیت های بومی بسیار مهم است. به طور سنتی، F بر اساس اطلاعات شجره ای تخمین زده می شود، اما در بیشتر موارد شجره در دسترس نبوده و یا اطلاعاتش نادرست است. به علاوه، رویکرد احتمالات تجزیه و تحلیل شجره ای طبیعت تصادفی نوترکیبی^۷ را در نظر نمی گیرد (McQuillan و همکاران، ۲۰۰۸). در حال حاضر، با در دسترس بودن تراکم بالای آرایه های SNP^۸، برآورده دقیق F در غیاب اطلاعات شجره نامه امکان پذیر است (Allendorf و همکاران، ۲۰۱۰).

^۳ Genetic drift

^۴ Population bottlenecks

^۵ population viability

^۶ Individual Inbreeding coefficient

^۷ Stochastic nature of recombination

^۸ Single nucleotide polymorphism

^۹ Genomic Relationship Matrix

^{۱۰} Run of Homozygosity

^{۱۱} Run of Homozygosity Inbreeding coefficient

^۸ Mega Base

^{۱۳} Founder effect

در نهایت جمعیت گاوهای سرابی و نجدی به چهار دسته: سرابی (گلهای ایستگاه اصلاح نژاد)، گلهای مردمی سرابی، نجدی (گلهای ایستگاه اصلاح نژاد)، گلهای مردمی نجدی تقسیم شدند.

کنترل کیفیت SNP‌ها یک مرحله مهم در مطالعات ژنومی برای به حداقل رساندن خطای تعیین ژنتیک است. برای اطمینان از این که کیفیت داده‌های مورد استفاده در آنالیزهای بعدی بالا باشد، کنترل کیفیت با استفاده از انتخاب گرینه‌های PLINK با SNP‌های غیرمرتبط با استفاده از انتخاب گرینه‌های PLINK پارامترهای زیر: نرخ فراخوانی^{۱۴} کمتر از ۱۰ درصد، حداقل فراوانی آللی^{۱۵} کمتر از ۹۵ درصد و تعادل هارדי واینبرگ، داده‌های با کیفیت پایین و با اطلاعات کم از آنالیزهای بعدی حذف شدند. کنترل کیفیت SNP‌های مرتب با پنجره ۵۰ SNPs، پنج فاصله بین پنجره‌ها و حدآستانه ۰/۵ برای^{۱۶} انتخاب گردیدند. در کل تعداد SNPs ۲۰۴۸۴ در گلهای SNPs ۲۲۲۱۳ در نجدی، SNPs ۱۵۸۶۲ در سرابی و SNPs ۱۶۶۲۱ در نژاد گاو هلشتاین، پس از عمل آمد. محل نمونه‌گیری گاوهای سرابی ایستگاه، اصلاح نژاد شهرستان سراب در استان آذربایجان شرقی و گلهای مردمی از شهرستان‌های سوسنگرد، هندیجان و ماشهر در استان خوزستان بودند.

استخراج DNA توسط شرکت دانش بنیان ساینا گستر البرز مستقر در پارک علم و فناوری دانشگاه تهران با روش نمکی بهینه یافته میلر (حداقل غلظت مورد نیاز ۳۰۰ نانوگرم) انجام شد. تعیین کمیت و کیفیت DNA استخراج شده با استفاده از دستگاه نانودرایپ و ژل آگارز یک درصد انجام شد.

نمونه‌ها جهت توالی یابی به شرکت ایلومینا ارسال و تعیین ژنوتیپ شدند.

با توجه به احتمال آمیخته بودن گاوهای سرابی و نجدی به ویژه با نژاد هلشتاین به عنوان فراوان‌ترین جمعیت پرورشی در ایران و به منظور خوشبندی جمعیت‌ها به دسته‌های همسان از لحاظ ژنتیکی و جلوگیری از بروز خطأ در محاسبه هم خونی، خوشبندی جمعیت با نرم‌افزار Tsafrir (SPIN) و همکاران،^{۱۷} انجام شد و از اطلاعات ژنومی ۳۰ رأس گاو هلشتاین نیز استفاده گردید.

گزینه فراخوانی هموزیگوستی ایجاد شده
F_{ROH} عبارتست از نسبت طول ROH به کل طول ژنوم (۲۵۴۱۷۴kb^{۱۸}) و با استفاده از نرم‌افزار PLINK برای آنالیز پیوستگی کل ژنوم، محاسبه شد (Purcell و همکاران، ۲۰۰۷).

¹⁴Call Rate¹⁵Minor Allele Frequency¹⁶Linkage Disequilibrium Coefficient¹⁷Linkage Disequilibrium¹⁸Kilo Base

ای و ژنومی می‌باشد. با توجه به احتمال آمیخته بودن گاوهای سرابی و نجدی به ویژه با نژاد هلشتاین به عنوان فراوان‌ترین جمعیت پرورشی در ایران و به منظور و استنتاج در خصوص وضعیت و ساختار جمعیت‌ها، اطلاعات گاوهای هلشتاین در تحقیق حاضر گنجانده شد (Kadlečík و همکاران ۲۰۱۳).

مواد و روش‌ها

جمعیت مورد مطالعه

در مطالعه حاضر از تعداد ۴۲۴ رأس گاوهای سرابی و نجدی، از سینین مختلف و نر و ماده شامل: ۲۱۳ رأس گاو سرابی^{۹۳} رأس مربوط به ایستگاه اصلاح نژاد و ۱۲۰ رأس مربوط به گلهای مردمی^{۹۳} و ۲۱۱ رأس گاو نجدی (۱۲۱ رأس مربوط به ایستگاه اصلاح نژاد و ۹۰ رأس مربوط به گلهای مردمی) خون‌گیری به عمل آمد. محل نمونه‌گیری گاوهای سرابی ایستگاه، اصلاح نژاد شهرستان سراب در استان آذربایجان شرقی و گلهای مردمی از شهرستان‌های سوسنگرد، هندیجان و ماشهر در استان خوزستان بودند.

استخراج DNA توسط شرکت دانش بنیان ساینا گستر البرز مستقر در پارک علم و فناوری دانشگاه تهران با روش نمکی بهینه یافته میلر (حداقل غلظت مورد نیاز ۳۰۰ نانوگرم) انجام شد. تعیین کمیت و کیفیت DNA استخراج شده با استفاده از دستگاه نانودرایپ و ژل آگارز یک درصد انجام شد.

نمونه‌ها جهت توالی یابی به شرکت ایلومینا ارسال و تعیین ژنوتیپ شدند.

با توجه به احتمال آمیخته بودن گاوهای سرابی و نجدی به ویژه با نژاد هلشتاین به عنوان فراوان‌ترین جمعیت پرورشی در ایران و به منظور خوشبندی جمعیت‌ها به دسته‌های همسان از لحاظ ژنتیکی و جلوگیری از بروز خطأ در محاسبه هم خونی، خوشبندی جمعیت با نرم‌افزار Tsafrir (SPIN) و همکاران،^{۱۷} انجام شد و از اطلاعات ژنومی ۳۰ رأس گاو هلشتاین نیز استفاده گردید.

از نرم افزار PLINK^{۱۷} (F_{HOM})؛ (۳) ضریب هم خونی شجره‌ای (F_{Ped})^{۱۸} با استفاده از نرم افزار CFC و Sargolzaei همکاران، ۲۰۰۶) و همبستگی پیرسون^{۱۹} برای ضرایب مختلف ژنومی با استفاده از نرم افزار اکسل محاسبه شد.

اندازه مؤثر جمعیت

اندازه مؤثر جمعیت (Ne) توسط نرم افزار SNeP (Barbato) و همکاران، ۲۰۱۵) و با فرمول زیر محاسبه شد:

$$N_{T(t)} = \frac{1}{(4f_{ct})} (1/E[r_{adj}^2 | c_t] - \alpha)$$

و همکاران، ۲۰۱۲ (Corbin)

عبارتست از برآوردهم اندازه مؤثر جمعیت t نسل قبل، r_{adj}^2 برآوردهم سرعت نوترکیبی t نسل قبل، $E[r_{adj}^2 | c_t]$ برآوردهم اندازه مؤثر جمعیت تصحیح شده برای اریب نمونه‌گیری و α مقدار ثابتی است. با توجه به اینکه اصلاح SNP برای LD سبب اریب در Ne می‌گردد، لذا برای این تجزیه و تحلیل، نشانگرها با توجه به معیارهای کنترل کیفیت ذکر شده بجز اصلاح برای LD فیلتر شدند. در مجموع SNPs ۲۷۸۶۲ در نجدى، SNPs ۲۶۲۹۳ در گله‌های مردمی سرابی، SNPs ۲۵۷۷۰ در گله‌های مردمی سرابی، SNPs ۳۲۳۴۰ در نژاد ۲۵۶۸۲ سرابی، SNPs ۵۰ Mb می‌گردند. این استفاده شد. برای هر کروموزوم، r^2 برای SNPs بین ۰ و ۰.۵ محسوبه شد. برای ترسیم الگوی LD برای هر کروموزوم، مقدار r^2 به عنوان تابعی از فاصله دسته‌های بین نشانگرها لحاظ شدند.

نتایج و بحث

در مجموع ۲۰۳۰ ROH در میان کل گاوها شناسایی شدند. در همه دسته‌های، به غیر از گاوها سرابی ایستگاه و گاوها گله‌های مردمی نجدی، تعداد ROH به ازاء هر کروموزوم در کروموزوم ۱ و کروموزوم ۲ بیشتر بود و با طول کروموزوم کاهش یافت. حداکثر اندازه طول ROH برابر با ۹۵/۱۳۴ Mb بر روی کروموزوم ۶ در گاوها نجدی یافت شد. Kim و همکاران

معیارهای زیر برای تعریف ROH استفاده شدند: (i) حداقل تعداد SNPs موجود در ROH به ۴۰ برسد؛ (ii) حداقل طول ROH ۴ Mb؛ (iii) دو SNP از دست رفته در ROH مجاز بود؛ (iv) حداقل تراکم یک SNP در هر ۳۰۰ Kb (V) حداقل فاصله بین SNPs متواتی ۱ Mb باشد. تعداد مجاز هتروزیگوت ۳ بود تعداد بیشتر هتروزیگوت باعث بروز خطای Mastrangelo می‌گردد (MNR_{ROH})^{۲۰} و همکاران، ۲۰۱۶).

میانگین تعداد ROH در هر فرد در هر نژاد (L_{ROH})^{۲۱} و ROH طول متوسط (L_{ROH})^{۲۲} و مجموع تمام قطعات ROH در هر حیوان (S_{ROH})^{۲۳} تخمین زده شدند. توزیع S_{ROH} درون گله‌ها با استفاده از باکس پلات بررسی شدند. علاوه بر این، مقادیر کروموزومی (F_{ROHBTA})^{۲۴} برای نژاد بوس تاروس (BTA)^{۲۵} از رابطه ذیل محاسبه شد:

$$F_{ROHBTA} = L_{ROHBTA} / L_{BTA}$$

و همکاران، ۲۰۱۳ (Silió)

که در آن L_{ROHBTA} کل طول ROH یک فرد در هر کروموزوم و L_{BTA} طول هر کروموزوم شامل SNPs می‌باشد. دسته‌بندی ROH به سه دسته: ۴ تا ۸ تا ۱۶ و بیش از ۱۶ Mb با استفاده از فرمت گزارش شده صورت گرفت (Ferenčaković و همکاران، ۲۰۱۳a؛ Marras و همکاران، ۲۰۱۴).

تجزیه و تحلیل هم خونی ژنومی

انواع برآوردهای ضریب هم خونی محاسبه شد. (۱) مقادیر عناصر قطری ماتریس خویشاوندی (F_{GRM})^{۲۶} و VanRaden همکاران، ۲۰۱۱؛ (۲) ضریب هم خونی ژنومی بر اساس تفاوت بین ژنوتیپ‌های هموزیگوت مشاهده شده و مورد انتظار با استفاده

¹⁹ Mean number of ROH per individual per breed

²⁰ Length of ROH

²¹ Sum of all ROH segments per animal

²² Distribution of inbreeding coefficient estimates for each chromosome

²³ Bos Taurus

²⁴ Total length of an individual's ROH in each BTA

²⁵ Length of each chromosome covered by the involved SNPs

²⁶ Genomic Relationship Matrix Inbreeding coefficient

²⁷ Difference between observed v. expected number of homozygous genotypes Inbreeding coefficient

²⁸ Pedigree Inbreeding coefficient

²⁹ Pearson

³⁰ Effective population size



سرابی طولانی ترین ROH در کروموزوم ۱۱، کروموزوم ۲۱ و کروموزوم ۱۲ به ترتیب با طول Mb ۵۳/۰۹۱، ۵۴/۶۱ و ۴۹/۸۰ مشاهده شدند (جدول ۱).

(۲۰۱۳) در گاو هلشتاین حداکثر اندازه ROH برابر با ۸۷/۱۳ Mb را بر روی کروموزوم ۸ گزارش کردند. در نژاد هلشتاین طولانی ترین ROH در کروموزوم ۱ به اندازه ۵۵/۳۸۱ Mb بود، در حالی که در گله‌های مردمی نجدی، سرابی ایستگاه و گله‌های مردمی

جدول ۱- طول ROH روی کروموزوم‌هادر توده‌های مختلف جمعیت گاو.

نژاد	ROH حداکثر		ROH حداقل	
	کروموزوم	اندازه (Mb)	کروموزوم	اندازه (Mb)
هلشتاین	۱	۵۵/۳۸	۱۵	۴/۲۲
نجدی	۶	۹۵/۱۳	۱	۴/۰۷
گله‌های مردمی نجدی	۱۱	۶۳/۰۹	۵	۴/۰۸
سرابی	۲۱	۵۴/۶۱	۵	۴/۰۳
گله‌های مردمی سرابی	۱۲	۴۹/۸۰	۳	۴/۶۷

= ROH = هموزیگوستی ایجاد شده.

= Mb مگا باز

جدول ۲- مشخصات اطلاعات آماری ROH در توده‌های مختلف جمعیت گاو (P<0.05).

SNPs	^{۳۳} L _{ROH}	^{۳۴} F _{ROH>4Mb}	MN _{ROH} ^{۳۱}	نژاد
۴۰-۳۲۴	۱۳/۰۳ (۴/۲-۵۵/۳۸)	۰/۰۵۹±۰/۰۳۳ (۰/۰۰۹-۰/۱۲۴)	۹/۳۴ (۰-۳۴)	هلشتاین
۴۰-۳۶۸	۱۵/۲۲ (۴/۳-۵۴/۶۱)	۰/۰۳۴±۰/۰۲۶ (۰/۰۰۴-۰/۱۲۲)	۹/۴۶ (۱-۱۶)	سرابی
۴۸-۴۳۶	۱۴/۷۲ (۴/۷-۴۹/۸۰)	۰/۰۲۶±۰/۰۴۷ (۰/۰۰۳-۰/۱۷۳)	۴/۵۷ (۱-۲۳)	گله‌های مردمی سرابی
۸-۹۹۲	۱۶/۱۵ (۴/۷-۹۵/۱۳)	۰/۰۶۱±۰/۰۶۴ (۰/۰۰۲-۰/۳۵۸)	۹/۲۷ (۱-۳۲)	نجدی
۴۰-۵۹۳	۱۱/۹۶ (۴/۸-۶۳/۰۹)	۰/۰۳۴±۰/۰۲۲ (۰/۰۰۲-۰/۱۶۶)	۹/۹۶ (۱-۲۸)	گله‌های مردمی نجدی

MN_{ROH} = میانگین تعداد ROH در هر فرد با ارزش حداقل و حداکثر داخل پرانتز.

F_{ROH>4Mb} = میانگین ضرب هم خونی بر اساس ROH بیش از 4 Mb با انحراف استاندارد و ارزش حداقل و حداکثر داخل پرانتز.

L_{ROH} = متوسط طول ROH بر حسب Mb با ارزش حداقل و حداکثر داخل پرانتز.

.ROH = حداقل و حداکثر تعداد چند شکلی تکنکلوتیدی (SNP) در ROH

^{۳۱} Mean number of ROH per individual

^{۳۲} Run of Homozygosity Inbreeding coefficient greater than 4 mega base

^{۳۳} Average length of ROH in mega base

معیار L_{ROH} به علت تنوع کمی که در بین نژادها وجود دارد و توسط سایر محققین گزارش شده است، توصیف خوبی از ROH ندارد (Marras و همکاران، ۲۰۱۴) (جدول شماره ۲). معیارهای مقایسه ROH متفاوت هستند و در مطالعات مختلف از معیارهای متفاوتی برای حداقل طول ROH و حداقل تعداد SNPs موجود در ROH استفاده گردیده است. تعداد SNPs، تراکم تراشه SNP و معیارهای انتخاب برای SNPs مورد استفاده برای تعیین همبستگی ژنتیکی می‌تواند تأثیر زیادی بر این ارزش‌ها داشته باشد (Bjelland و همکاران، ۲۰۱۳).

ROH و همکاران (۲۰۱۳a) تعداد بیشتری از F_{ROH} (Ferenčaković در چهار جمعیت گاو تحت بررسی (فلکویه^{۳۴}، براون سوئیس^{۳۵}، نروژی قرمز^{۳۶} و تیلور گری^{۳۷}) گزارش نمودند، که احتمالاً به دلیل طول کوتاه‌تر در نظر گرفته شده برای تعریف ROH (بیش از ۴Mb) باشد. نتایج مشابهی برای معیار F_{ROH} بیش از ۵۰k توسط Ferenčaković و همکاران (۲۰۱۳b) با استفاده از پانل ۵۰k برای نژادهای گاوهای بومی پیترگور^{۳۸} و تیلور گری (Marras و همکاران ۲۰۱۴) و توسط (۰/۰۴۲ و ۰/۰۴۰)، در گاو گوشتشی نژاد مارچیزیانا^{۳۹} (۰/۰۴۶) گزارش شده است. طول ROH ‌ها در بین توده‌های جمعیتی مورد مطالعه متفاوت بودند. رابطه بین تعداد کل و طول ROH در کل ژنوم برای هر دام در شکل ۱ نمایش داده شده است، نمودارهای پراکندگی، همبستگی خاصی بین این دو پارامتر یعنی تعداد و طول ROH را نشان ندادند، بطوری که بعضی افراد با داشتن تعداد زیادی ROH ، ولی طول ROH نسبت به کل ژنوم کوتاه بود و بالعکس افرادی با داشتن تعداد کم ROH ، ولی طول ROH به نسبت کل ژنوم زیاد بودند.

³⁴ Fleckvieh

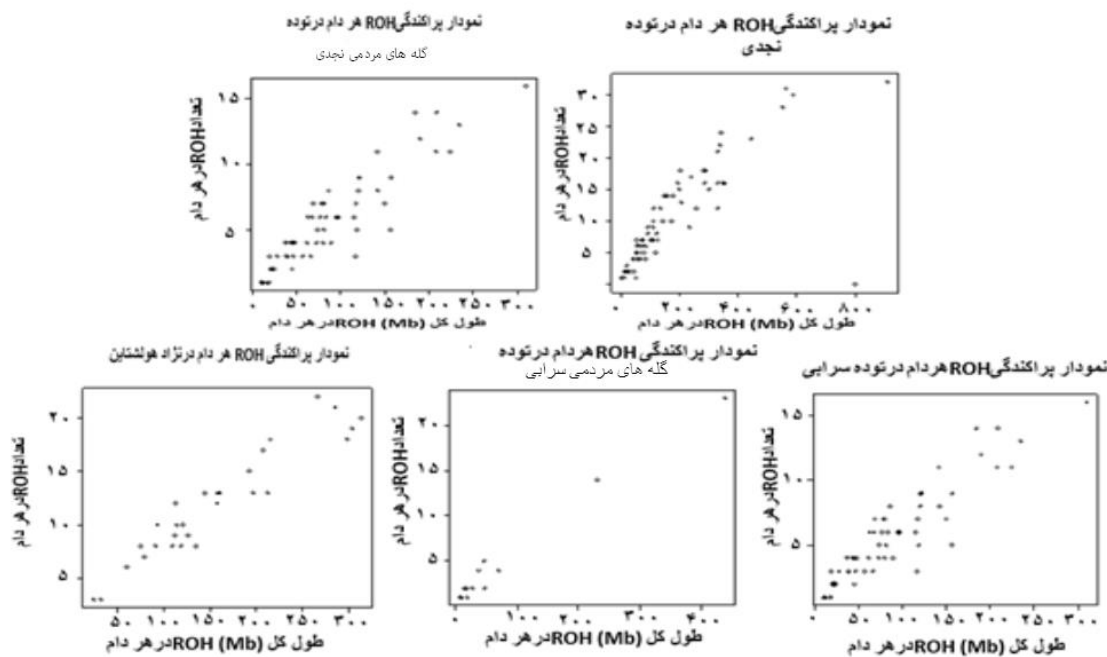
³⁵ Brown Swiss

³⁶ Norwegian Red

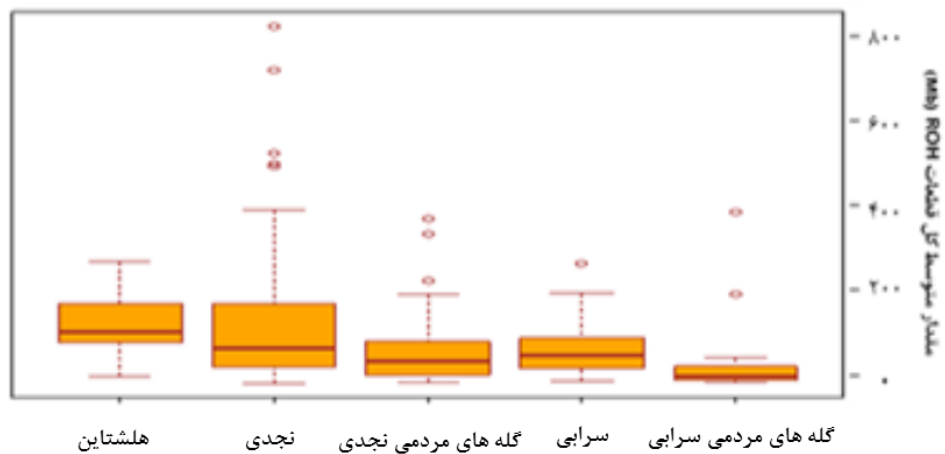
³⁷ Tyrol Grey

³⁸ Pinzgauer

³⁹ Marchigiana



شکل ۱ - رابطه بین تعداد کل ROH بیش از 4Mb و طول کل ROH در ژنوم برای دامهای توده‌های مختلف جمعیت، هر نقطه مربوط به یک دام است.



شکل ۲ - باکس پلات‌های مرتبه به مقدار متوسط کل قطعات ROH (Mb) در هر فرد داخل هر توده جمعیتی گاو.

همچنین تفاوت‌های قابل توجهی برای مقادیر آماره S_{ROH} در بین مربوط به سه توده جمعیتی شامل نجدی 155 Mb ، هلشتاین $150/3$ و گله‌های مردمی توده نجدی $83/24\text{ Mb}$ بودند. همچنین ROH در تمام جمعیت‌های مورد مطالعه، بیشترین بخش پوشش در گروه طول متوسط (8 Mb تا 16 Mb) واقع بودند، بخصوص هلشتاین $56/4$ درصد و سرابی $46/9$ درصد (جدول ۳).

همچنین تفاوت‌های قابل توجهی برای مقادیر آماره S_{ROH} در بین حیوانات و توده‌های مختلف جمعیتی مشاهده شدند (شکل ۲). بالاترین میانگین $157/23\text{ Mb}$ S_{ROH} در نجدی و کمترین آن $70/41\text{ Mb}$ در گله‌های مردمی سرابی بود. بالاترین و کمترین ارزش‌های میانه آماره مذکور به ترتیب مربوط به هلشتاین و گله‌های مردمی توده سرابی بودند. میانگین مقادیر S_{ROH} بدست آمده در تحقیق حاضر کمتر از مقادیر گزارش شده سایر محققین بود (Purfield و همکاران، ۲۰۱۲).

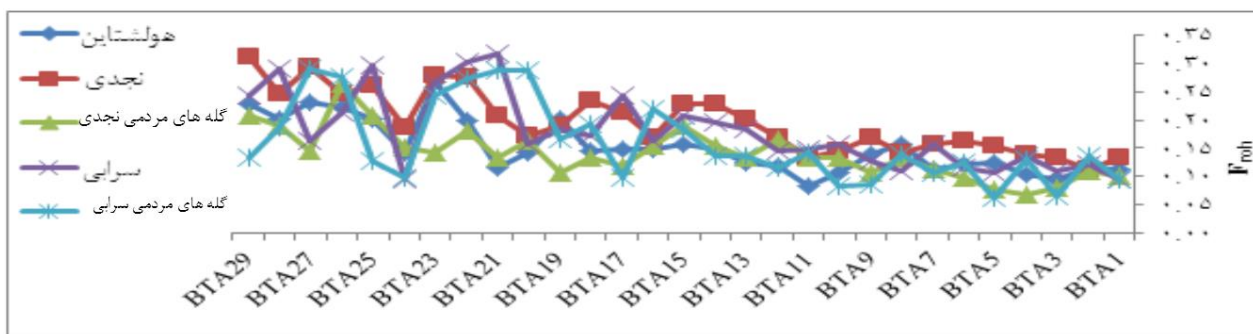
جدول ۳- تعداد و فراوانی توزیع ROH در دسته‌بندی‌های مختلف طول ROH(Mb) برای هر توده جمعیتی گاو.

گله‌های مردمی سرابی	سرابی	نژاد			هلشتاین	ROH(Mb)	دسته‌بندی طول
		گله‌های مردمی نجدی	نجدی	هلشتاین			
۱۹	۶۵	۲۱۴	۲۲۰	۹۲	ROH	تعداد	۴-۸
۳۰	۱۹/۳	۴۰/۱	۲۹/۴	۲۶/۶	ROH	فراوانی	
۲۵	۱۵۸	۲۱۷	۲۷۵	۱۹۵	ROH	تعداد	۸-۱۶
۳۹	۴۶/۹	۴۰/۶	۳۶/۷	۵۶/۴	ROH	فراوانی	
۲۰	۱۱۴	۱۰۳	۲۵۴	۵۹	ROH	تعداد	>۱۶
۳۱	۳۳/۸	۱۹/۳	۳۳/۹	۱۷	ROH	فراوانی	

بوجود آمده است. یافته‌های تحقیق حاضر نشان می‌دهد که توده‌های بومی ایران هر دو تجربه هم خونی در سال‌های اخیر و گذشته، را داشته‌اند.

همچنین نتایج مطالعه حاضر نشان داد که توده‌های بومی در طی سال‌های اخیر هیچ گونه تلاقی غیر نژادی نداشته‌اند، در غیر این صورت ROH‌های با طول بلند شکسته می‌شوند. یکی از مزایای اصلی تعیین ضرایب ROH در ژنوم استفاده در محاسبه ضریب هم خونی می‌باشد که برای هر کروموزوم به صورت مجزا در شکل ۳ نمایش داده شده است

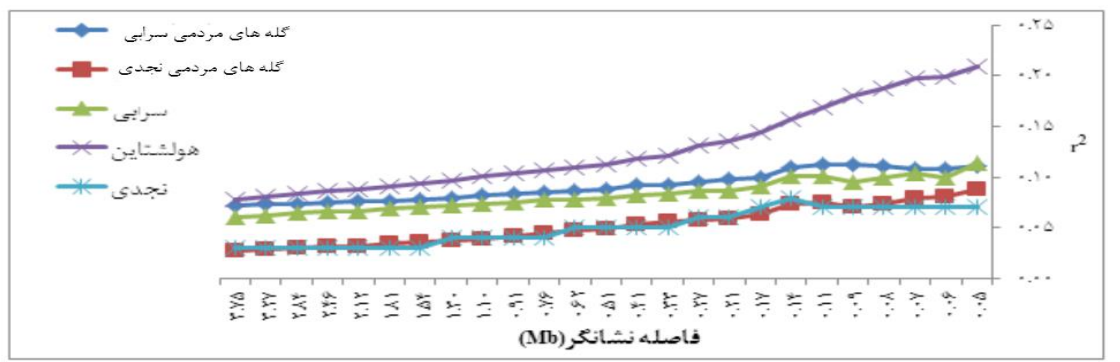
مطالعات پیشین در ارتباط با ROH در انسان Kirin و همکاران، (۲۰۱۰) و در جمعیت گاوهای Ferenčaković و همکاران، (۲۰۱۴) گزارش نموده‌اند که تعداد ROH‌های با طول بلند کمتر از 16 Mb با طول کوتاه هستند. طول مورد انتظار اتوزیگوستی قطعاتی که IBD^4 هستند از توزیع نمایی با میانگین $1/2\text{ g}$ مورگان پیروی می‌کند، g تعداد نسل های انشقاق یافته از جد مشترک هستند Howrigan و همکاران، (۲۰۱۱). بنابراین، انتظار می‌رود که قطعات 16 Mb در نتیجه هم خونی در طی سه نسل قبل بوجود آمده باشند. هم خونی در سال‌های اخیر در توده‌های بومی مطالعه مربوط به فراوانی بالای ROH در این رده‌بندی از لحاظ طول می‌باشد (جدول ۳). قطعات کوتاه ROH در جمعیت هلشتاین ایران (۴ Mb) بیانگر هم خونی است که در طی $12/5$ نسل پیش (حدود ۷۵ سال پیش)



شکل ۳- توزیع ضریب هم خونی برآورده شده برای هر کروموزوم (FROHBTA).

در برگیرنده ژن‌های دخیل در متابولیسم غدد پستان هستند، می-باشد. مقادیر مشابهی توسط Marras و همکاران (۲۰۱۴) در گاوها نژاد سیمنتال ایتالیایی و مارچیزیانا بومی گزارش شدند. یکی دیگر از کابردهای قطعات ROH در ژنوم در محاسبه میزان عدم تعادل (LD) و اندازه مؤثر جمعیت (Ne) در گله‌های اجدادی می‌باشد. ROH بیانگر عدم وقوع نوترکیبی در یک منطقه خاص است. مقدار^۲ به عنوان ضریب همبستگی بین نشانگرها و نمایانگر فاصله بین نشانگرها می‌باشد (شکل ۴).

عموماً برای هر نژاد، ارزش F_{ROHBTA} کل ژنوم پیروی می‌کند. بالاترین ضریب هم خونی با شاخص مذکور (F_{ROHBTA}) در توده‌های جمعیتی شامل سرابی، نجدی، گله‌های مردمی سرابی، گله‌های مردمی نجدی و هلشتاین به ترتیب مربوط به کروموزوم-های ۲۱، ۲۹، ۲۰ و ۲۶ و کمترین ضریب هم خونی به ترتیب مربوط به کروموزوم‌های ۲۴، ۲، ۵، ۴ و ۱۱ بودند. مطالعه بر روی هلشتاین ایتالیایی توسط Gaspa و همکاران (۲۰۱۴) نشان دهنده ROH‌های در دامنه حدود ۲ Mb بر روی کروموزوم ۲۶ که



شکل ۴- عدم تعادل پیوستگی در ژنوم به عنوان تابعی از فاصله ژنتیکی (Mb).

چگونگی تکامل جمعیت می‌باشد (Tenesa و همکاران، ۲۰۰۷). در پنج توده جمعیتی مطالعه حاضر بالاترین مقدار (تخمین پنج نسل قبل) در نجدي برابر با ۶۶ رأس و کمترین آن در هلشتاین با مقدار ۲۴ رأس محاسبه شد (جدول ۴).

در مطالعه حاضر بالاترین و کمترین سطح عدم تعادل در بین نشانگرها^۲ به ترتیب در هلشتاین و نجدي محاسبه شدند. از معیار LD برای تخمین اندازه مؤثر فعلی و گذشته جمعیت استفاده می‌شود و پارامتری مهم برای ارزیابی تنوع ژنتیکی و توضیح

جدول ۴- برآوردهم اندازه مؤثر جمعیت (Ne) بر اساس ارزش‌های عدم تعادل پیوستگی در توده‌های مختلف جمعیتی در مطالعه حاضر.

نژاد	اندازه مؤثر جمعیت	۵ نسل قبل	۵۵ نسل قبل
هلشتاین		۲۴	۱۲۵
سرابی		۳۴	۲۶۲
گله‌های مردمی سرابی		۳۰	۲۴۱
نجدي		۶۶	۳۹۷
گله‌های مردمی نجدي		۶۳	۳۶۲

روش‌های مبتنی بر LD با استفاده از اطلاعات بیشتر، منجر به برآوردهم دقیق‌تر می‌شود (Waples and Do، ۲۰۱۰؛ Waples and England، ۲۰۱۱؛ Saura، ۲۰۱۵).

در صورت امکان بررسی تغییرات اندازه مؤثر جمعیت در طول زمان و همچنین LD بین ژنگاه‌ها در مناطقی دارای فاصله نوترکیبی اختصاصی، به شرط رشد خطی جمعیت، جمعیت مؤثر اجداد معادل $1/2C$ نسل قبل است (Hayes و همکاران، ۲۰۰۳). برخی از پارامترها، به عنوان مثال تراکم و فراوانی یک جفت SNP و توزیع MAF برآوردهای LD و سپس Ne تأثیر می‌گذارد (Ober و همکاران، ۲۰۱۳).

علاوه بر این، روشهای مورد استفاده برای تبدیل فاصله‌های فیزیکی بین جفت SNP به فاصله ژنتیکی ممکن است باعث تأثیر بر برآوردهای اندازه مؤثر جمعیت شود (García-Gáméz و همکاران، ۲۰۱۳).

پیش‌بینی اندازه مؤثر جمعیت به دست آمده در این مطالعه برای هلشتاین نزدیک به مقادیر برای نژاد مذکور در سایر نواحی دنیا بود (Rodríguez-Ramilo و همکاران، ۲۰۱۵). همچنین میزان عدم تعادل و اندازه مؤثر جمعیت تحت تأثیر زمان انتخاب اخیر نیز قرار

در نژادهای سیسیلی، مقادیر LD بالاتری نسبت به توده‌های جمعیتی در مطالعه حاضر گزارش شده است (Mastrangelo و همکاران، ۲۰۱۴). تخمین‌های متفاوتی برای تعیین اندازه مؤثر جمعیت در مورد خوک‌های ایرین با شجره دقیق و کامل محاسبه شده در حالی که تعیین اندازه مؤثر جمعیت با در نظر گرفتن ضریب هم خونی و ضریب خویشاوندی به ترتیب ۱۷ و ۱۰ رأس بود (Saura و همکاران، ۲۰۱۳) و با استفاده از اطلاعات LD و میزان نوترکیبی اندازه مؤثر جمعیت ۳۶ رأس گزارش شده است (Saura و همکاران، ۲۰۱۴). اختلافات ناشی از بکارگیری روشهای متفاوت برآورده است. روشهای مبتنی بر شجره‌نامه و روشهای مختلف برآورده اندازه مؤثر جمعیت مبتنی بر اطلاعات مولکولی با نتایج متفاوتی همراه است که وابسته به استراتژی نمونه‌گیری و پارامترهای مورد استفاده برای محاسبه اندازه مؤثر جمعیت هستند (Leroy و همکاران، ۲۰۱۳). این روشهای از نظر مقیاس زمانی مورد بررسی و مقدار اطلاعات موجود متفاوتند. نرخ‌های ضریب هم خونی و رابطه خویشاوندی را فقط بر اساس مدت زمان محدود و با در نظر گرفتن سال تولد دام تخمین می‌زنند (که در توده‌های بومی ممکن است نادرست باشد) که احتمالاً باعث بروز خطا در نتایج برآورده شده، می‌گردد.

ضرایب هم خونی برآورده شده با استفاده از رویکردهای مختلف، در جدول ۴ گزارش شده است.

دارند. در واقع انتخاب شدید برای تولید شیر و تلقیح مصنوعی در هلشتاین منجر به کاهش اندازه مؤثر جمعیت شده است. میانگین

جدول ۵- برآورده میانگین ضرایب هم خونی برای توده های جمعیتی گاو

(در گله های مردمی نجدى و گله های مردمی سرابی به علت نداشتن شجره، ضریب هم خونی شجره ای محاسبه نشد).

F_{HOM}	F_{Ped}	F_{GRM}	نژاد
-۰/۰۱۸	۰/۰۰۲	-۰/۰۱۲	هلشتاین
۰/۰۳۸	۰/۰۵۷	۰/۰۴۹	نجدى
۰/۰۱۷	-	۰/۰۲۸	گله های مردمی نجدى
-۰/۰۵۲	۰/۰۱۹	-۰/۰۵۵	سرابی
-۰/۰۲۱	-	۰/۰۰۳	گله های مردمی سرابی

F_{GRM} = ضریب هم خونی ماتریس روابط ژنومی.

F_{Ped} = ضریب هم خونی شجره ای.

F_{HOM} = ضریب هم خونی هموزیگوستی مشاهده شده و مورد انتظار.

در رابطه با منفی شدن ضرایب هم خونی F_{GRM} ، در تشکیل ماتریس روابط خویشاوندی ژنومی سعی بر این است که به گونه-ای تصحیحات صورت گیرد تا ماتریس ژنومی^۱ مشابه (آنالوگ^2) ماتریس خویشاوندی^۳ مبتنی بر احتمالات باشد، این تصحیحات بر مبنای مخرج کسر $\text{Sum}(p^*q^2)$ بوده

که مستقیماً تحت تأثیر فراوانی آللی قرار دارد، بنابراین اگر جمعیت تعیین ژنوتیپ شده به نسل پایه نرسد، می تواند فراوانی آللی واقعی و در نهایت در آرایه های ماتریس ژنومی را تحت تأثیر قرار دهد و گاهای $G_{ij}-1$ منفی می شود، دلیل برآوردهای منفی ساختار داده ها مانند کم بودن تعداد افراد و برآورد اریب فراوانی آللی می تواند باشد (VanRaden و همکاران، ۲۰۱۱).

همبستگی پیرسون بین $F_{ROH>4Mb}$ و سایر ضرایب هم خونی ژنومی محاسبه شد (Mastrangelo) و همکاران (Gómez-Romano و همکاران، ۲۰۱۴) (جدول ۶).

توده نجدى بالاترین و نژاد هلشتاین کمترین ارزش را برای همه ضرایب هم خونی (F_{HOM} , F_{GRM} و F_{Ped}) و توده سرابی کمترین مقدار برای ضریب F_{GRM} در بین جمعیت های مورد مطالعه نشان داد (جدول ۵). ضریب هم خونی برآورده شده در گاوهای هلشتاین، با نتایج ماسترانجلو و همکاران مطابقت داشت (Mastrangelo و همکاران، ۲۰۱۶). ضرایب هم خونی پیش بینی شده بسته به روش مورد استفاده متفاوت است. در واقع، ضریب هم خونی برآورده شده با استفاده از فراوانی آللی (F_{GRM} و F_{HOM}) تنوع قابل توجهی در میان نژادها نسبت به F_{Ped} و $F_{ROH>4Mb}$ نشان می دهد (Rodríguez-Ramilo و همکاران، ۲۰۱۶).

تخمین های ارائه شده با داده های آرایه SNP همبستگی بالائی با تخمین های شجره ای دارند و جایگزین مناسبی برای اطلاعات شجره هستند (Gómez-Romano و همکاران، ۲۰۱۳؛ Saura و همکاران، ۲۰۱۳).

علت منفی شدن ضریب هم خونی در F_{HOM} ، به واسطه مقایسه ضرایب هم خونی افراد با میانگین جمعیت می باشد، لذا افرادی که ضریب هم خونی کمتر از میانگین دارند بصورت منفی بیان می شود (Mastrangelo و همکاران، ۲۰۱۶).

¹ Genomic Matrix

² Analogous

³ Relationship Matrix

جدول ۶- همبستگی پیرسون $F_{ROH>4Mb}$ و سایر ضرایب هم خونی برای توده های مختلف جمعیتی در مطالعه حاضر (دروگاوهای گله های مردمی نجدى و گله های مردمی سرابی به علت نداشتن شجره، همبستگی پیرسون ضرایب هم خونی محاسبه نشده است).

گله های مردمی سرابی	گله های مردمی نجدى	نجدى	هلشتاین	همبستگی
۰/۲۳۹	۰/۴۷۳***	۰/۰۹۲	۰/۰۷۲	۰/۰۳۷ $F_{GRM-F_{ROH>4Mb}}$
-۰	۰/۵۹۲**	-۰	۰/۰۳۱	۰/۱۹۶ $F_{Ped-F_{ROH>4Mb}}$
۰/۱۴۱	۰/۲۹۳*	۰/۱۶۲	۰/۰۴۸	۰/۲۳۵ $F_{HOM-F_{ROH>4Mb}}$

* معنی داری در سطح احتمال ۵ درصد، ** معنی داری در سطح احتمال ۱ درصد و *** معنی داری در سطح احتمال

خاطر نحوه ایجاد متفاوت دو ماتریس ژنومی و بلوک های هاپلوتیپی باشد، بدین نحو که ماتریس ژنومی بر اساس ژنگاه های انفرادی نشانگرها ایجاد می شود، اما ماتریس F_{ROH} بر اساس قطعات کروموزومی است.

در حالی که برآوردهای ضرایب هم خونی شجره ای تفاوتی بین هم خونی در نتیجه سال های اخیر و قدیم قائل نمی شود، F_{ROH} سطح اتوژنیگوستی در جمعیت فعلی را بدست آورده و هم خونی اخیر (تا سه نسل قبل) را محاسبه می کند.

ullet عدم دسترسی به داده های شجره گواوهای گله های مردمی نجدى و گله های مردمی سرابی در این مطالعه، مقایسه ضرایب هم خونی ژنومی و شجره ای برای این گواها انجام نگرفت. همبستگی قوی گزارش شده بین ضریب هم خونی شجره ای و مجموع ROH ، توسط چندین محققین گزارش شده است (Purfield و همکاران، ۲۰۱۲؛ Ferenčaković و همکاران، ۲۰۱۳b). همبستگی ضریب هم خونی شجره ای و $F_{ROH>4Mb}$ در گاو سرابی بیانگر این مسئله است که ضریب هم خونی محاسبه شده با استفاده از اطلاعات سطح ژنوم تحت می تواند جایگزین مناسبی برای پیش بینی ضریب هم خونی با استفاده از اطلاعات کم و ناقص شجره باشد.

باید تأکید کرد که وقوع ROH در فرد ممکن است منتج از هم خونی باشد، اما ROH در جمعیت های آمیخته از پدیده های

همبستگی بین ($F_{Ped-F_{ROH>4Mb}}$) و ($F_{GRM-F_{ROH>4Mb}}$) در توده سرابی به ترتیب ۰/۴۷۳ و ۰/۵۹۲ و معنی دار ($P<0/001$)، اما همبستگی ها در سایر توده های جمعیتی پایین و غیر معنی دار بودند (جدول ۶). علت معنی دار نشدن همبستگی در توده گواوهای نجدى و هلشتاین می تواند مربوط به تعداد و صحت داده های مورد بررسی باشد. همبستگی بالا بین F_{ROH} و F_{HOM} (۰/۰۸۴) توسط ژانگ و همکاران (۲۰۱۴) در خوک بر اساس قطعات ROH بیش از ۵ Mb گزارش شد، در حالیکه مقادیر همبستگی کاملاً متفاوت ($0/035$ و $0/061$) توسط ژانگ و همکاران (۲۰۱۵) در سه نژاد گاو (هلشتاین، جرزی و قرمز دانمارکی^{۴۴}) گزارش شده است. F_{HOM} کویک و همکاران (۲۰۱۳) همبستگی بالائی بین F_{ROH} و $ROH<1 Mb$ را بر اساس قطعات کوتاه (۰/۰۲۱) گزارش نمودند.

همبستگی محاسبه شده بین F_{GRM} و F_{ROH} در مطالعه حاضر با نتایج سایر محققین همخوانی نداشت (Marras و همکاران، ۲۰۱۴؛ Zhang و همکاران، ۲۰۱۴؛ Mastrangelo و همکاران، ۲۰۱۵؛ Mastrangelo و همکاران، ۲۰۱۶) و همکاران (۲۰۱۵) در مطالعه اتوژنیگوستیه با استفاده از SNPs با تراکم بالا، گزارش نمودند که همبستگی بین

استفاده از $ROH<0/5 Mb$ و F_{GRM} و F_{ROH} از $0/074$ در $ROH<0/41$ به $0/۰۴۱$ در $ROH<0/۰۷۴$ کاهش یافت، که دلیل این امر ممکن است به

^{۴۴} Danish Red Cattle



ROH بلند و هم خونی به علت جفتگیری خویشاوندی بود. اجتناب از جفتگیری در میان خویشاوندان نزدیک، همراه با سایر اقدامات (به عنوان مثال نسبت دام نر به دام ماده، اندازه مطلوب فرزندان)، استراتژی مناسبی برای کنترل افزایش هم خونی هستند. در رابطه با انتخاب برای تولید شیر بایستی راهکاری لحاظ گردد تا منجر به بروز ROH در آمیخته‌ها و کاهش تولید شیر نشود. همچنین، با توجه به ضریب همبستگی بین $F_{ROH} > 4Mb$ و $F_{Ped} < 0.0592$ ($P < 0.001$)، از ضرایب هم خونی ROH در گاوهای سرابی برای بررسی هم خونی، در شرایطی که شجره وجود ندارد یا دارای عمق مناسبی نیست، می‌توان استفاده کرد.

منابع

توكلیان، ج. (1378). ذخایر زنگنه دام و طیور بومی ایران. ص 4-27.

Alexander, D.H., Novembre, J. and Lange, K. (2009). Fast model-based estimation of ancestry in unrelated individuals. *Genome research*, 19(9): 1655-1664.

Allendorf, F.W., Hohenlohe, P.A. and Luikart, G. (2010). Genomics and the future of conservation genetics. *Nature Reviews Genetics*, 11: 697–709.

Barrett, J.C., Fry, B., Maller, J. and Daly, M.J. (2005). Haplovview: analysis and visualization of LD and haplotype maps. *Bioinformatics*, 21: 263–265.

Bjelland, D.W., Weigel, K.A., Vukasinovic, N. and Nkrumah, J.D. (2013). Evaluation of inbreeding depression in Holstein cattle using whole-genome SNP markers and alternative measures of genomic inbreeding. *Journal of Dairy Science*, 96:4697–4706.

Blatt, M., Wiseman, S. and Domany, E. (1996a). Clustering data through an analogy to the Potts model. *Advances in Neural Information Processing Systems*, 2(3): 416-422.

دیگری بوجود می‌آید. در واقع، افزایش فراوانی هاپلوتیپ‌ها ممکن است ناشی از فشار انتخاب بر روی مناطق ژنوم در گیر در صفات عملکردی مطلوب باشد (Gaspa و همکاران، ۲۰۱۴). مطالعات اخیر نشان داد که برآوردهم‌خونی ژنومی می‌تواند برای محاسبه اثرات هم‌خونی بر عملکرد دام و ویژگی‌های سازگاری، استفاده شود. Pryce و همکاران (۲۰۱۴)، در مطالعه‌ای بر روی شناسایی بخش‌هایی از ژنوم مرتبط با افت به واسطه هم‌خونی در هلشتاین، گزارش شده است که ROH‌های بلند (بیش از ۶۰ SNPs یا $3/5\text{ Mb}$)، بدون در نظر گرفتن نسبت هموزیگوتی در ژنوم، با کاهش تولید شیر مرتبط هستند.

در توده سرابی علی الرغم کارهای انجام شده طی سال‌های گذشته، متأسفانه طبق رکوردهای تولید شیر موجود در ایستگاه اصلاح نژاد، روند تولید شیر افزایش چندانی نداشته است، میانگین تولید شیر ۳۳ رأس گاو دارای ثبت و مشخصات با تعداد ۵۳۴ رکورد ثبت شده، ۶/۵۵ کیلوگرم بود. یکی از دلائل عدم حصول نتیجه مطلوب و گرایش به استفاده از نژاد هلشتاین برای تلاقی گاوهای سرابی، می‌تواند کاهش تولید شیر باشد. بنابراین، نتایج ما لزوم اجرای برنامه‌های حفظ توده‌های بومی به منظور اجتناب از کاهش بیشتر تمایز ژنتیکی را نشان داد. بهترین استراتژی برای دستیابی به این اهداف، بهینه‌سازی مشارکت والدین برای کم کردن میزان هم‌تباری فرزندان است (Fernández و همکاران، ۲۰۰۳). هم‌تباری گیری هم‌تباری بر اساس بخش‌های IBD (De Cara و Bosse و همکاران، ۲۰۱۳) و در مورد قطعات مشترک ژنوم (Bosse و همکاران، ۲۰۱۵) به عنوان تعادل خوب بین حفظ تنوع و سازگاری پیشنهاد می‌گردد.

نتیجہ گیری

مطالعه حاضر به منظور محاسبه و مقایسه ضریب هم خونی در سطح زنوم با استفاده از ROH و اطلاعات شجره در دو توده گاوهاي بومي ايران و نژاد خالص هلشتاين بود. نتایج به دست آمده ييانگر توزيع متفاوت ROH در میان تودههاي بومي سرابي و نجدی و نژاد هلشتاين بودند. بخصوص توده نجدی دارای بخش هاي

- Blatt, M., Wiseman, S. and Domany, E. (1997). Data clustering using a model granular magnet. *Neural Computation*, 9(8): 1805-1842.
- Bosse, M., Megens, H.J., Madsen, O., Crooijmans, R.P., Ryder, O.A., Austerlitz, F., et al., (2015). Using genome-wide measures of coancestry to maintain diversity and fitness in endangered and domestic pig populations. *Genome Research*, 25: 970–981.
- Caballero, A. and Toro, M.A. (2002). Analysis of genetic diversity for the management of conserved subdivided populations. *Conservation Genetics*, 3: 289–299. considered as ancestors. *Molecular Biology Reports*, 39: 745–751.
- Curik, I., Ferenčaković, M. and Sölkner, J. (2014). Inbreeding and runs of homozygosity:a possible solution to an old problem. *Livest Science*, 166:26–34.
- De Cara, M.Á.R., Villanueva, B., Toro, M.A. and Fernández, J. (2013). Using genomic tools to maintain diversity and fitness in conservation programmes. *Molecular Ecology*, 22: 6091–6099.
- Ferenčaković, M., Hamzić, E., Gredler, B., Solberg, T.R., Klemetsdal, G., Curik, I., et al., (2013a). Estimates of autozygosity derived from runs of homozygosity:empirical evidence from selected cattle populations. *Journal of Animal Breeding and Genetics*, 130: 286–293.
- Ferenčaković, M., Solkner, J. and Curik, I. (2013b). Estimating autozygosity from high-throughput information: effects of SNP density and genotyping errors. *Genetics Selection Evolution*, 2: 42-45.
- Fernández, J., Meuwissen, T.H.E., Toro, M.A. and Mäki-Tanila, A. (2011). Management of genetic diversity in small farm animal populations. *Animal*, 5: 1684–1698.
- Fernández, J., Toro, M.A., and Caballero, A. (2003). Fixed contributions designs vs.minimization of global coancestry to control inbreeding in small populations. *Genetics*, 165: 885–894.
- García-Gámez, E., Sahana, G., Gutiérrez-Gil, B. and Arranz, J.J. (2012). Linkagedisequilibrium and inbreeding estimation in Spanish Churra sheep. *BMC Genetics*, 13: 43.
- Gaspa, G., Marras, G., Sorbolini, S., Ajmone Marsan, P., Williams, J.L., Valentini, A., et al., (2014). Genome-wide homozygosity in Italian Holstein cattle using HD panel. In Proceedings of the 10th World Congress of Genetics Applied to Livestock Production, 17–22 August, Vancouver,Canada.
- Gibson, J., Morton, N. and Collins, A. (2006). Extended tracts of homozygosity in outbred human populations. *Human Molecular Genetics*, 15: 789–795.
- Gómez-Romano, F., Sölkner, J., Villanueva, B., Mészáros, G., De Cara, M.A.R., Pérez O'Brien, A.M. , et al., (2014). Genomic estimates of inbreeding and coancestry in Austrian Brown Swiss cattle. In Proceedings of the 10th World Congress of Genetics Applied to Livestock Production, 17–22 August, Vancouver, Canada.
- Gómez-Romano, F., Villanueva, B., De Cara, M.A.R. and Fernández, J. (2013). Maintaining genetic diversity using molecular coancestry: the effect of marker density and effective population size. *Genetics Selection Evolution*, 45: 38.
- Hayes, B.J., Visscher, P.M., McPartlan, H.C. and Goddard, M.E. (2003). Novel multilocus measure of linkage disequilibrium to estimate past effective population size. *Genome Research*, 13: 635–643.
- Howrigan, D.P., Simonson, M.A. and Keller, M.C. (2011). Detecting autozygosity through runs of homozygosity: a comparison of three autozygosity detection algorithms. *BMC Genomics*, 12: 460.
- Kadlečík, O., Hazuchová, E., Pavlík, I., Kasarda, R. (2013). Diversity of cattle breeds in Slovakia. *Slovak Journal of Animal Science*, 46(4): 145-150.

- Keller, M.C., Visscher, P.M. and Goddard, M.E. (2011). Quantification of inbreeding due to distant ancestors and its detection using dense single nucleotide polymorphism data. *Genetics*, 189: 237–249.
- Kim, E.S., Cole, J.B., Huson, H., Wiggans, G.R., Van Tassell, C.P., Crooker, B.A., et al., (2013). Effect of artificial selection on runs of homozygosity in U.S. Holstein cattle. *PLoS One*, 8: e80813.
- Kirin, M., McQuillan, R., Franklin, C., Campbell, H., McKeigue, P. and Wilson, J. (2010). Genomic runs of homozygosity record population history and consanguinity. *PLoS One*, 5: e13996.
- Leroy, G., Mary-Huard, T., Verrier, E., Danvy, S., Charvolin, E. and Danchin-Burge, C. (2013). Methods to estimate effective population size using pedigree data: examples in dog, sheep, cattle and horse. *Genetics Selection Evolution*, 45: 1–10.
- Lush, J.L. (1945). Animal breeding plans. Iowa State College, Ames, pp: 443.
- Marras, G., Gaspa, G., Sorbolini, S., Dimauro, C., Ajmone-Marsam, P., Valentini, A., et al., (2014). Analysis of runs of homozygosity and their relationship with inbreeding in five cattle breeds farmed in Italy. *Animal Genetics*, 46: 110–121.
- Mastrangelo, S. , Tolone, M. , Di Gerlando, R. , Fontanesi, L. , Sardina, M. T. and Portolano, B. (2016). Genomic inbreeding estimation in small populations: evaluation of runs of homozygosity in three local dairy cattle breeds. *Animal*, 10(5): 746–754.
- Mastrangelo, S., Sardina, M.T., Riggio, V. and Portolano, B. (2012). Study of polymorphisms in the promoter region of ovine β -lactoglobulin gene and phylogenetic analysis among the Valle del Belice breed and other sheep breeds.
- Mastrangelo, S., Saura, M., Tolone, M., Salces-Ortiz, J., Di Gerlando, R., Bertolini, F., et al.. (2014). The genome-wide structure of two economically important indigenous Sicilian cattle breeds. *Journal of Animal Science*, 92: 4833–4842.
- McQuillan, R., Leutenegger, A.L., Abdel-Rahman, R., Franklin, C.S., Pericic, M., Barac-Lauc, L., et al., (2008). Runs of homozygosity in European populations. *The American Journal of Human Genetics*, 83: 359–372.
- Ober, U., Malinowski, A., Schlather, M. and Simianer, H. (2013). The expected linkage disequilibrium in finite populations revisited. *ArXiv Preprint*, 1304: 4856.
- Ouborg, N.J., Pertoldi, C., Loeschke, V., Bijlsma, R. and Hedrick, P.W. (2010). Conservation genetics in transition to conservation genomics. *Trends in Genetics*, 26: 177–187.
- Pertoldi, C., Purfield, D.C., Berg, P., Jensen, T.H., Bach, O.S., Vingborg, R. , et al., (2014). Genetic characterization of a herd of the endangered Danish Jutland cattle. *Journal of Animal Science*, 92: 2372–2376.
- Pritchard, J. K., Stephens, M. and Donnelly, P. (2000). Inference of population structure using multilocus genotype data. *Genetics*, 155(2): 945–959.
- Pryce, J.E., Haile-Mariam, M., Goddard, M.E. and Hayes, B.J. (2014). Identification of genomic regions associated with inbreeding depression in Holstein and Jersey dairy cattle. *Genetics Selection Evolution*, 46: 71.
- Purcell, S., Neale, B., Todd-Brown, K., Thomas, L., Ferreira, M.A., Bender, D., et al., (2007). PLINK: a tool set for whole genome association and population-based linkage analyses. *The American Journal of Human Genetics*, 81: 559–575.
- Purfield, D.C., Berry, D.P., McParland, S. and Bradley, D.G. (2012). Runs of homozygosity and population history in cattle. *BMC Genetics*, 13: 70.
- Rodríguez-Ramilo, S.T., Fernández, J., Toro, M.A., Hernández, D. and Villanueva, B. (2015). Genome-wide estimates of coancestry, inbreeding and effective population size in the Spanish Holstein population. *PLoS One*, 10: 4.

- Sargolzaei, M., Iwaisaki, H. and Colleau, J.J. (2006). CFC Release 1.0-A software package for pedigree analysis and monitoring genetic diversity comm.
- Saura, M., Fernández, A., Rodríguez, M.C., Toro, M.A., Barragán, C., Fernández, A.I. et al., (2013). Genome-wide estimates of coancestry and inbreeding depression in an closed herd of ancient Iberian pigs. *PLoS One*, 8: e78314.
- Saura, M., Tenesa, A., Woolliams, J.A., Fernández, A. and Villanueva, B. (2015). Evaluation of the linkage-disequilibrium method for the estimation of effective population size when generations overlap: an empirical case. *BMC Genomics*, 16: 922.
- Saura, M., Woolliams, J.A., Tenesa, A., Fernández, A. and Villanueva, B. (2014). Estimation of ancient and recent effective population size from linkage disequilibrium in a closed herd of Iberian pigs. In Proceedings of the 10th World Congress of Genetics Applied to Livestock Production, 17–22 August, Vancouver, Canada.
- Silió, L., Rodríguez, M.C., Fernández, A., Barragán, C., Benítez, R., Óvilo, C. et al., (2013). Measuring inbreeding and inbreeding depression on pig growth from pedigree or SNP-derived metrics. *Journal of Animal Breeding and Genetics*, 130: 349–360.
- Sved, J.A. (1971). Linkage disequilibrium of chromosome segments. *Theoretical Population Biology*, 141: 125–141.
- Tenesa, A., Navarro, P., Hayes, B.J., Duffy, D.L., Clarke, G.M., Goddard, M.E. et al., (2007). Recent human effective population size estimated from linkage disequilibrium. *Genome Research*, 17: 520–526.
- Toro, M.A., Meuwissen, T.H.E., Fernández, J., Shaat, I. and Mäki-Tanila, A. (2011). Assessing the genetic diversity in small farm animal populations. *Animal*, 5:1669–1683.
- Tsafrir, D., Tsafrir, I., Ein-Dor, L., Zuk, O., Notterman, D.A. and Domany, E. (2005). Sorting points into neighborhoods (SPIN): data analysis and visualization by ordering distance matrices. *Bioinformatics*, 21(10): 2301-2308.
- VanRaden, P.M., Olson, K.M., Wiggans, G.R., Cole, J.B. and Tooker, M.E. (2011). Genomic inbreeding and relationships among Holsteins, Jerseys, and Brown Swiss. *Journal of Dairy Science*, 94: 5673–5682.
- Waples, R. and England, P.R. (2011). Estimating contemporary effective population size on the basis of linkage disequilibrium in the face of migration. *Genetics*, 189:633–644.
- Waples, R.S. and Do, C. (2010). Linkage disequilibrium estimates of contemporary Ne using highly variable genetic markers: a largely untapped resource for applied conservation and evolution. *Evolutionary Applications*, 3: 244–262.
- Zavarez, L.B., Utsunomiya, Y.T., Carmo, A.S., Neves, H.H., Carvalheiro, R., Ferencaković, M., et al., (2015). Assessment of autozygosity in Nellore cows (*Bos indicus*) through high-density SNP genotypes. *Frontiers in Genetics*, 6: 5.
- Zhang, Q., Calus, M.P., Guldbrandtsen, B., Lund, M.S. and Sahana, G. (2015). Estimation of inbreeding using pedigree, 50k SNP chip genotypes and full sequence data in three cattle breeds. *BMC Genetics*, 16: 88.

Zhang, Y., Young, J.M., Wang, C., Sun, X., Wolc, A. and Dekkers, J.C.M. (2014). Inbreeding by pedigree and genomic markers in selection lines of pigs. In Proceedings of

the 10th World Congress of Genetics Applied to Livestock Production, 17–22 August, Vancouver, Canada.